

- Non si possono consultare libri, note, ed ogni altro materiale o persone durante l'esame ad eccezione delle funzioni Matlab fornite.
- Risolvere i seguenti esercizi con l'ausilio di Matlab.
- La durata del compito è di 90 minuti.
- Questo esame ha 3 domande, per un totale di 30/30 punti.
- Svolgere gli esercizi su fogli protocollo, indicando: nome, cognome, codice persona e data
- Per ciascun esercizio consegnare su webeep un file nominato, ad esempio, "esercizio1.m" con il codice Matlab sviluppato (caricare le function fornite per l'esame solo se modificate).
- Per utilizzare le funzioni Matlab sviluppate durante il corso e fornite per l'esame, è necessario aggiungere la cartella con il comando `addpath functions2023`.

Esercizio 1 (punti 10)

Consideriamo la seguente funzione definita sull'intervallo $(-1, 1)$.

$$f(x) = \frac{1}{1 + 25x^2}$$

- (a) (3 punti) [M] Approssimare f mediante interpolazione polinomiale Lagrangiana su nodi equispaziati di grado $n = [5, 10, 15]$. Riportare graficamente i polinomi interpolanti ottenuti sovrapposti alla funzione f e l'errore in spazio; stampare a schermo il massimo dell'errore nei tre casi,

$$err_n = \max_{x \in (-1, 1)} |f(x) - \Pi_n f(x)|$$

Cosa osserviamo?

Soluzione. Possiamo costruire l'interpolazione polinomiale Lagrangiana su nodi equispaziati utilizzando il seguente script

```
clear
close all
clc

%% PUNTO 1
a = -1;  b = 1;
```

```
x_dis = linspace( a, b, 1000 );
fun = @(x) 1./(1+25*x.^2);
f_dis = fun(x_dis);

grado = [5 10 15];
PP_dis = [];
EE_dis = [];
err_max = [];

fig = figure();
plot( x_dis, f_dis, 'g', 'Linewidth', 2)
title ('Funzione e polinomi interpolanti su nodi
       equispaziati')
xlabel('asse x')
ylabel('asse y')
grid
hold on

for n = grado
    x_nod = linspace(a,b,n+1);
    f_nod = fun(x_nod);
    P = polyfit( x_nod, f_nod, n );
    poly_dis = polyval( P, x_dis );
    err_dis = abs( poly_dis - f_dis );
    err_max = [err_max; max( err_dis )];
    PP_dis = [ PP_dis; poly_dis ];
    EE_dis = [ EE_dis; err_dis ];
end

plot(x_dis,PP_dis,'Linewidth',2)
legend('f(x)', 'n=5', 'n=10', 'n=15', 'Location', 'best')
fontsize(fig, 14, "points")
saveas(gcf, "es1_sol_a.png")

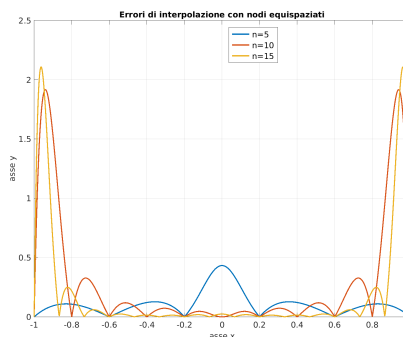
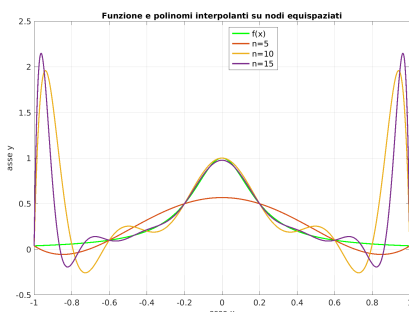
fig = figure();
plot(x_dis,EE_dis,'Linewidth',2)
title('Errori di interpolazione con nodi equispaziati')
legend('n=5', 'n=10', 'n=15', 'Location', 'best')
grid on
xlabel('asse x')
ylabel('asse y')
disp(err_max)
```

```

fontsize(fig, 14, "points")
saveas(gcf, "es1_sol_a_err.png")

```

Graficamente otteniamo



Notiamo che aumentando il grado di approssimazione l'interpolante risulta meno accurato agli estremi dell'intervallo $(-1, 1)$, tipico del fenomeno di Runge associato all'interpolazione polinomiale Lagrangiana su nodi equispaziati. Infine il massimo dell'errore che otteniamo è il seguente:

0.4327

1.9156

2.1069

- (b) (4 punti) [T] Si discuta la stabilità e la convergenza dell'interpolazione polinomiale Lagrangiana su nodi equispaziati e su nodi di Chebychev-Gauss-Lobatto.

Soluzione. Data una funzione f definita su I e dati $n + 1$ nodi x_i , considero la sua interpolazione Lagrangiana data da

$$\Pi_n f(x) = \sum_{i=0}^n f(x_i) \mathcal{L}_i(x) = \sum_{i=0}^n y_i \mathcal{L}_i(x),$$

dove Π_n è l'operatore di interpolazione che data una funzione f restituisce il polinomio interpolatore π_n negli $n + 1$ punti x_i . Considero ora una funzione \tilde{f} ottenuta perturbando f : il suo interpolato è dato dalla seguente espressione

$$\Pi_n \tilde{f}(x) = \sum_{i=0}^n \tilde{f}(x_i) \mathcal{L}_i(x).$$

Possiamo calcolare la differenza tra l'interpolata di f e la sua perturbata per capire come si propagano le perturbazioni

$$\left\| \Pi_n f - \Pi_n \tilde{f} \right\|_{\infty} \leq \max_{i=0, \dots, n} \left| f(x_i) - \tilde{f}(x_i) \right| \max_{x \in I} \left| \sum_{i=0}^n \mathcal{L}_i(x) \right|$$

L'ultimo termine, che non dipende da f ma solo dai valori dei \mathcal{L}_i nei nodi x_i , è detto costante di Lebesgue e, per nodi equispaziati, è data da

$$\Lambda_n = \max_{x \in I} \left| \sum_{i=0}^n \mathcal{L}_i(x) \right| \approx \frac{2^{n+1}}{en \log(n + \gamma)}$$

tale valore cresce molto all'aumentare di n rendendo quindi non stabile l'interpolazione polinomiale Lagrangiana su nodi equispaziati. Nel caso in cui considerassimo i nodi di Chebychev-Gauss-Lobatto tale costante risulterebbe

$$\Lambda_n < \frac{2}{\pi} \log n$$

ha una crescita di tipo logaritmico in n .

Per la convergenza abbiamo che nel caso di nodi uniformi non ci viene garantito che si abbia convergenza, ovvero in generale

$$\lim_{n \rightarrow \infty} \max_{x \in I} |E_n f(x)| \neq 0.$$

Mentre per nodi di Chebychev-Gauss-Lobatto il polinomio interpolatore $\Pi_n f$ è tale che $\Pi_n f \rightarrow f$ per $n \rightarrow \infty$, ovvero abbiamo convergenza all'aumentare del grado polinomiale.

- (c) (3 punti) [M] Ripetere quanto fatto al punto a per nodi di Chebychev-Gauss-Lobatto.

Soluzione. Possiamo costruire l'interpolazione polinomiale Lagrangiana su nodi di Chebychev-Gauss-Lobatto utilizzando il seguente script

%% PUNTO 3

```
fig = figure();
plot( x_dis, f_dis, 'g', 'Linewidth', 2);
title ('Funzione e polinomi interpolanti su nodi di
        Chebyshev')
xlabel('asse x')
ylabel('asse y')
grid
hold on

PP_dis = [];
EE_dis = [];
err_max = [];
```

```

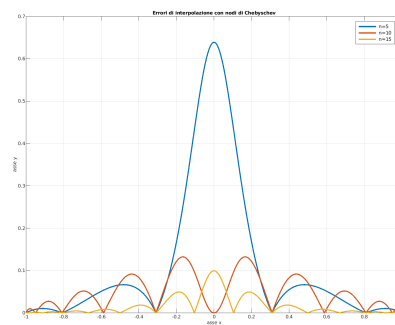
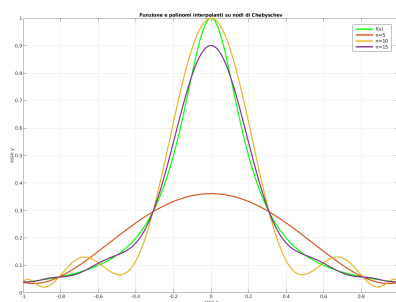
for n = grado;
    k = [ 0 : n ];
    t = - cos( pi * k / n );
    x_nod = ( a + b ) / 2 + ( ( b - a ) / 2 ) * t;
    f_nod = fun(x_nod);
    P = polyfit( x_nod, f_nod, n );
    poly_dis = polyval( P, x_dis );
    err_dis = abs( poly_dis - f_dis );
    err_max = [err_max; max( err_dis )];
    PP_dis = [ PP_dis; poly_dis ];
    EE_dis = [ EE_dis; err_dis ];
end

plot(x_dis,PP_dis,'Linewidth',2)
legend('f(x)', 'n=5', 'n=10', 'n=15', 'Location', 'best')
fontsize(fig, 8, "points")
saveas(gcf, "es1_sol_c.png")

fig = figure();
plot(x_dis,EE_dis,'Linewidth',2)
title('Errori di interpolazione con nodi di Chebyshev')
legend('n=5', 'n=10', 'n=15', 'Location', 'best')
grid on
xlabel('asse x')
ylabel('asse y')
disp(err_max)
fontsize(fig, 8, "points")
saveas(gcf, "es1_sol_c_err.png")

```

Graficamente otteniamo



Notiamo che aumentando il grado di approssimazione l'interpolante risulta più

accurata su tutto l'intervallo $(-1, 1)$, non abbiamo più il fenomeno di Runge associato all'interpolazione polinomiale Lagrangiana su nodi equispaziati. Infine il massimo dell'errore che otteniamo è il seguente:

0.6386

0.1322

0.0993

Esercizio 2 (punti 10)

Si consideri la seguente funzione

$$f(x) = x^3 \sin(x - 1) \quad \text{per } x \in (-1, 1)$$

- (a) (1 punto) [M] Si rappresenti f in Matlab e si identifichi il valore α tale per cui $f(\alpha) = 0$.

Soluzione. Ecco un possibile script per rappresentare f

```
clear all
close all
clc

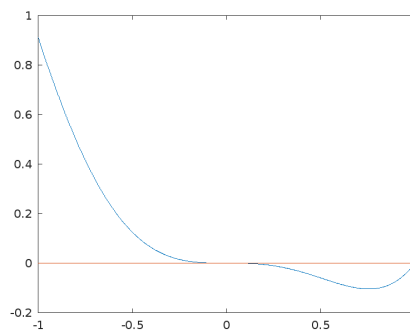
addpath functions2023

%% a)

f = @(x) x.^3.*sin(x-1);

a = -1;
b = 1;
x_val = linspace(a, b, 1000);
figure(1)
plot(x_val, f(x_val))
hold on
plot(x_val, 0*x_val)
hold off
```

Il cui grafico è il seguente



Possiamo notare che lo zero α della funzione f è situato in 0.

- (b) (3 punti) [T] Derivare il metodo di Newton per la ricerca degli zeri di una funzione, riportando anche le sue proprietà di convergenza.

Soluzione. Dato, all'iterazione k , un valore di tentativo per lo zero esatto x^k , la retta tangente a f in x^k è data da

$$\frac{f(x) - f(x^k)}{x - x^k} = f'(x^k) \quad \Rightarrow \quad f(x) = f(x^k) + f'(x^k)(x - x^k).$$

Quindi dato x^k , il punto x^{k+1} è trovato come punto di intersezione della retta tangente con l'asse x ovvero lo zero della retta tangente approssimante f . Abbiamo che

$$f(x^{k+1}) = f(x^k) + f'(x^k)(x^{k+1} - x^k) = 0 \quad \Rightarrow \quad x^{k+1} = x^k - \frac{f(x^k)}{f'(x^k)}$$

Per la convergenza ci basiamo sul seguente risultato

Teorema 1. Sia $f : [a, b] \rightarrow \mathbb{R}$ una funzione di classe C^2 in $[a, b]$. Sia α tale che $f(\alpha) = 0$ e $f'(\alpha) \neq 0$, ovvero di molteplicità algebrica pari a 1. Allora esiste $\eta > 0$ tale che se scelgo x^0 in modo che $|x^0 - \alpha| < \eta$ allora si ha

$$\forall k \in \mathbb{N} \quad |x^k - \alpha| < \eta,$$

inoltre il metodo risulta convergente, ovvero

$$\lim_{k \rightarrow \infty} x^k = \alpha,$$

infine il metodo di Newton ha una convergenza quadratica, abbiamo

$$\lim_{k \rightarrow \infty} \frac{x^{k+1} - \alpha}{(x^k - \alpha)^2} = C = \frac{f''(\alpha)}{2f'(\alpha)}.$$

- (c) (2 punti) [M] Applicare il metodo di Newton per il calcolo di α , partire da un valore iniziale pari a $x_0 = 0.5$ e impostare una tolleranza pari a 10^{-8} . Rappresentare in scala semilogy l'errore ottenuto e commentare alla luce della teoria.

Soluzione. Ecco un possibile script per il calcolo dello zero

```
x_ex=0;

%% b)

x0 = 0.5;
tol = 1e-8;
nmax = 1000;
```



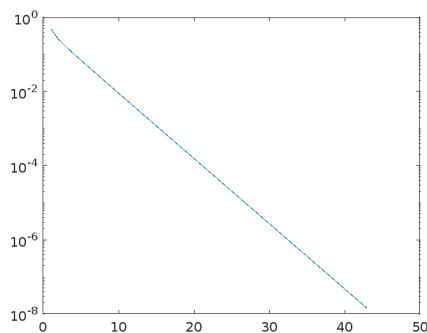
```
df = @(x) 3*x.^2.*sin(x-1) + x.^3.*cos(x-1);
```

```
[xvect,it] = newton(x0,nmax,tol,f,df);
```

```
figure(2)
```

```
semilogy(abs(xvect-x_ex))
```

Il metodo si arresta dopo 42 iterazione e il valore finale calcolato è dato da 0.0000000139135. Assumendo $\alpha = 0$ la soluzione esatta, allora l'errore calcolato è rappresentato dal seguente grafico



Possiamo notare l'andamento lineare che indica una convergenza di tipo lineare.

- (d) (2 punti) [T] Si proponga una modifica al metodo di Newton per il calcolo degli zeri a molteplicità algebrica maggiore di 1.

Soluzione. Introducendo m come molteplicità algebrica dello zero α , possiamo quindi presentare il metodo di Newton modificato come

$$x^{k+1} = x^k - m \frac{f(x^k)}{f'(x^k)}$$

Se tale metodo converge allora converge quadraticamente, come nel caso del metodo di Newton la convergenza è solo locale, cioè per un x^0 sufficientemente vicino al valore di α .

- (e) (2 punti) [M] Si estenda opportunamente la function `newton.m` in modo da implementare quanto proposto al punto precedente. Utilizzando questa nuova funzione ripetere quanto fatto al punto c, sovrapponendo gli errori sullo stesso grafico. Commentare i risultati ottenuti.

Soluzione. La function `newtonmod.m` che implementa il metodo di Newton modificato è la seguente

```
function [xvect,it] = newtmod(x0,nmax,toll,fun,dfun,mol)
```

```
%  
% [xvect,it] = newtmod(x0,nmax,toll,fun,dfun,mol)  
%  
% Metodo di Newton modificato per la ricerca degli zeri  
% della funzione fun. Test d'arresto basato sul  
% controllo  
% della differenza tra due iterate successive.  
%  
% Parametri di ingresso:  
%  
% x0          Punto di partenza  
% nmax        Numero massimo di iterazioni  
% toll        Tolleranza sul test d'arresto  
% fun dfun     Function handle contenenti la funzione e la  
%              sua derivata  
% mol         Molteplicita' dello zero cercato  
%  
% Parametri di uscita:  
%  
% xvect        Vett. contenente tutte le iterate calcolate  
%              (l'ultima componente e' la soluzione)  
% it           Iterazioni effettuate  
  
err = toll+1;  
it = 0;  
xvect = [x0];  
  
while (it< nmax && err>= toll)  
    xv = xvect(end);  
    if abs(dfun(xv)) < eps % epsilon macchina - errore  
        macchina  
        disp(' Arresto per azzeramento di dfun');  
        it = it + 1;  
        break  
    else  
        xn = xv - mol * fun(xv) / dfun(xv);  
        err = abs(xn - xv);  
        xvect = [xvect; xn];  
        it = it + 1;  
    end  
end
```

```
fprintf(' \n Numero di Iterazioni : %d \n',it);  
fprintf(' Zero calcolato          : %-.13f \n',xvect(end)  
    );
```

```
return
```

Possiamo quindi calcolare lo zero con la nuova funzione nel seguente modo

```
saveas(gcf, "es2_sol_c.png")
```

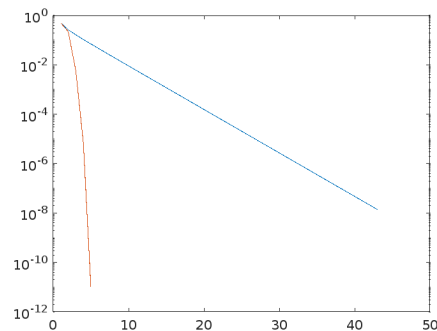
```
%% c)
```

```
mol = 3;
```

```
[xvect_mod,it_mod] = newtmod(x0,nmax,tol,f,df,mol);
```

```
hold on
```

Il metodo si arresta dopo 5 iterazione e il valore finale calcolato è -0.0000000000103.
L'andamento dell'errore è ora dato dal seguente grafico



Notiamo come la nuova versione converge molto più rapidamente.

Esercizio 3 (punti 10)

Assumendo $c > 0$, si consideri la seguente equazione di conservazione

$$\begin{cases} \partial_t c + \partial_x(0.5c^2) = 0 & x \in (0, 5), t \in (0, T] \\ c(0, x) = \begin{cases} 3 & x \leq 2.5 \\ 5.5 - x & x > 2.5 \end{cases} & x \in (0, 5) \\ c(t, 0) = 0 & t \in (0, T] \end{cases}$$

dove il tempo finale è pari a $T = 1$.

- (a) (3 punti) [T] Verificare se il flusso numerico Upwind è applicabile per la discretizzazione dell'equazione proposta con il metodo dei volumi finiti. Scegliere il valore $h = 0.125$ costante per l'ampiezza delle celle. Calcolare quindi il massimo Δt ammesso e chiamare Δt_{max} tale valore.

Soluzione. Nel caso in esame abbiamo $f(c) = \frac{1}{2}c^2$ e $f'(c) = c$. In base ai dati iniziali forniti il valore minimo e massimo di c sono rispettivamente $c_m = c(5) = 0.5$, $c_M = 3$ e, per tali valori, la derivata prima della funzione flusso è sempre non negativa quindi il flusso upwind è applicabile. Il massimo della derivata $f'(c)$ si ottiene in corrispondenza di $c = 3$ e vale $\max_{c \in (c_m, c_M)} |f'(c)| = 3$. Per soddisfare la condizione CFL dobbiamo quindi garantire che $\Delta t \max_{c \in (c_m, c_M)} |f'(c)| < h$. Con i valori scelti si ottiene $\Delta t_{max} = 0.125/3 = 0.041\bar{6}$.

- (b) (3 punti) [M] Sia $N = T/\Delta t_{max}$, risolvere il problema utilizzando la function `fvsolve` utilizzando il metodo di Upwind per N , $N - 2$ e $2N$ passi temporali (attenzione: calcolare i Δt corrispondenti!) e rappresentare le soluzioni ottenute usando la function `xtplot`. Commentare cosa si osserva.

Soluzione. Il numero di intervalli N si ottiene come $N = 1/0.125 = 8$. Definiamo i dati necessari per la soluzione numerica,

```
h=0.125;
dtlim=h/df(3);
N=T/dtlim;

cont=1;
for n=[N, N-2, N*2]
    [xc, t, u] = fvsolve(u0, f, df, L, T, h, T/n, 'UPWIND')
    ;
    figure
    xtplot(xc,t,u,'animation')
    pause
```

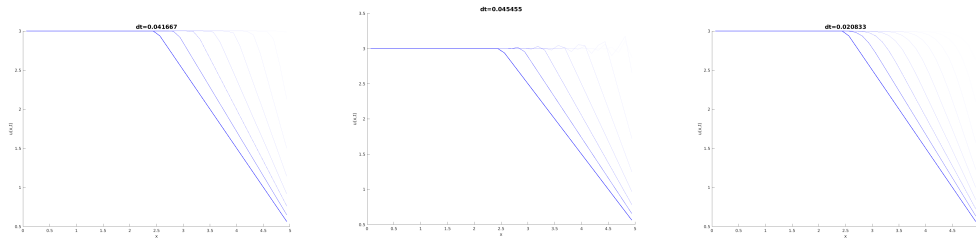
Impostiamo quindi un ciclo per calcolare la soluzione con il numero di intervalli richiesto:

```

cont=1;
for n=[N, N-2, N*2]
    [xc, t, u] = fvsolve(u0, f, df, L, T, h, T/n, 'UPWIND')
    ;
    figure
    xtplot(xc,t,u,'animation')

```

ottenendo i tre grafici riportati:



Osserviamo che per il passo temporale "limite" la soluzione è corretta e si osserva la formazione di uno shock; per un passo temporale leggermente superiore al massimo consentito dalla CFL si ha un andamento non fisico; per passi temporali minori si ha una soluzione corretta, con una maggiore diffusine numerica.

- (c) (2 punti) [T] Si descriva il flusso numerico di Godunov e se ne discutano le proprietà.

Soluzione. L'idea per introdurre il flusso di Godunov è quella di partire da una soluzione costante a tratti al tempo t_n , e di risolvere problemi di Riemann ad ogni interfaccia fra due celle vicine. Per calcolare il flusso di Godunov fra le celle i e $i+1$ consideriamo che, a seconda dei valori di c_i^n e c_{i+1}^n e della "forma" del flusso, possiamo avere uno shock, una rarefazione o una combinazione dei due; questo determina il valore della soluzione c^* nel nodo $i+\frac{1}{2}$ nell'intervallo di tempo $[t_n, t_{n+1}]$. Utilizzando c^* possiamo valutare il flusso numerico all'interfaccia.

Il flusso di Godunov risultante si può esprimere in modo sintetico con la seguente definizione:

$$F_{i+\frac{1}{2}}^G(c_i, c_{i+1}) = \begin{cases} \min f(\xi), \xi \in [c_i, c_{i+1}] & \text{se } c_i \leq c_{i+1} \\ \max f(\xi), \xi \in [c_{i+1}, c_i] & \text{se } c_i \geq c_{i+1} \end{cases}$$

Osserviamo che se f è monotono questa definizione coincide con il flusso upwind.

- (d) (2 punti) [M] Si calcoli la soluzione del problema proposto utilizzando ora il flusso numerico di Godunov e un opportuno passo temporale.

Soluzione. Scegliamo ad esempio un passo $\Delta t = 0.9\Delta t_{max}$:

```
title(strcat('dt=',num2str(T/n)),'FontSize',14)
saveas(gcf, strcat("es3_sol_", num2str(cont), ".png"))
cont=cont+1;
```

La soluzione ottenuta è simile a quella ottenuta con il flusso upwind.